

НАЦИОНАЛЬНЫЙ ИССЛЕДОВАТЕЛЬСКИЙ УНИВЕРСИТЕТ ИТМО

Факультет систем управления и робототехники

## **Теория автоматического управления**

### **Лабораторная работа №6**

#### **«Практика с моторчиком»**

**Выполнили студенты:**

Боровик А.М.

Мысов М.С.

Петров И.А.

Синицин Е.Е.

Группа № R33372

**Руководитель:**

Перегудин А.А.

г. Санкт-Петербург

2022

# СОДЕРЖАНИЕ

Задание 1. Определение параметров двигателя с помощью МНК .....	3
Задание 2. Астатизмы и регуляторы .....	3
П-регулятор .....	3
ПИ-регулятор .....	10
Специальный регулятор .....	15
Задание 3. Частотные характеристики .....	19
Задание 4. Критерий Найквиста .....	20
Задание 5. Вынужденное движение .....	23
Выводы .....	24

## Задание 1. Определение параметров двигателя с помощью МНК

[Ссылка на наш питоновский код](#)

Используем математическую модель двигателя

$$T\ddot{\theta} + \dot{\theta} = Ku$$

где  $\theta$ , рад — угол поворота двигателя,  $U$ , В — напряжение, поданное на двигатель.

Заряд батареи, полученный с брика EV3 = 7.5 В

Аппроксимированные значения параметров  $T$  и  $k$  двигателя постоянного тока:

$$T_m = 0.0642$$

$$k = 1.7993$$

## Задание 2. Астатизмы и регуляторы

### П-регулятор

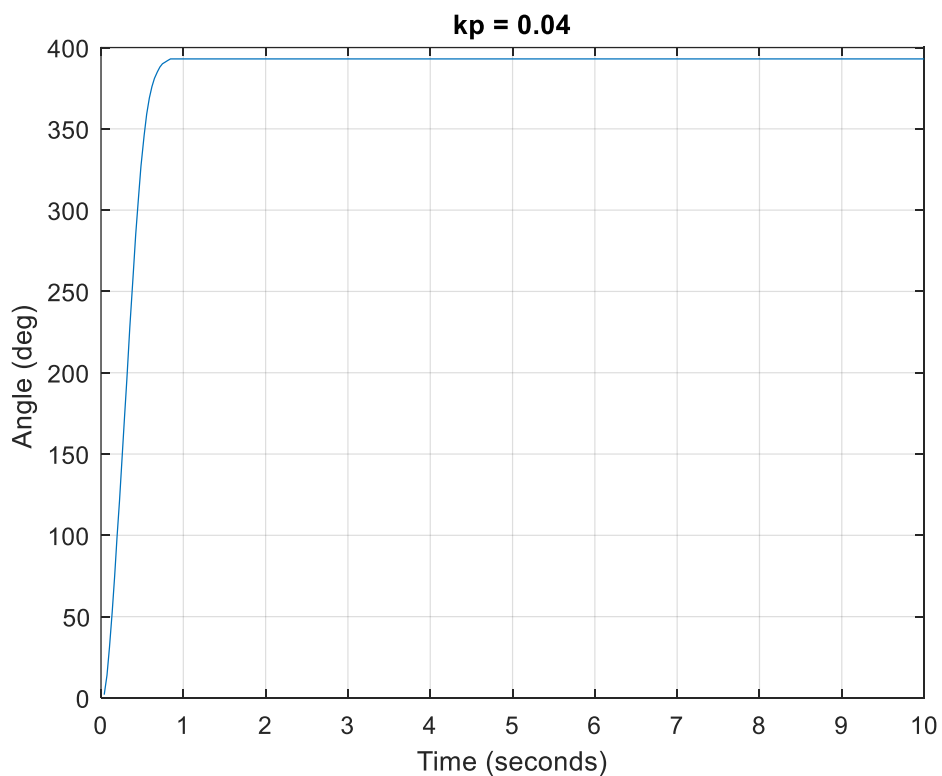


Рисунок 1 — график слежения по углу поворота за постоянным сигналом  $u = 400$ ,  $k_p = 0.04$

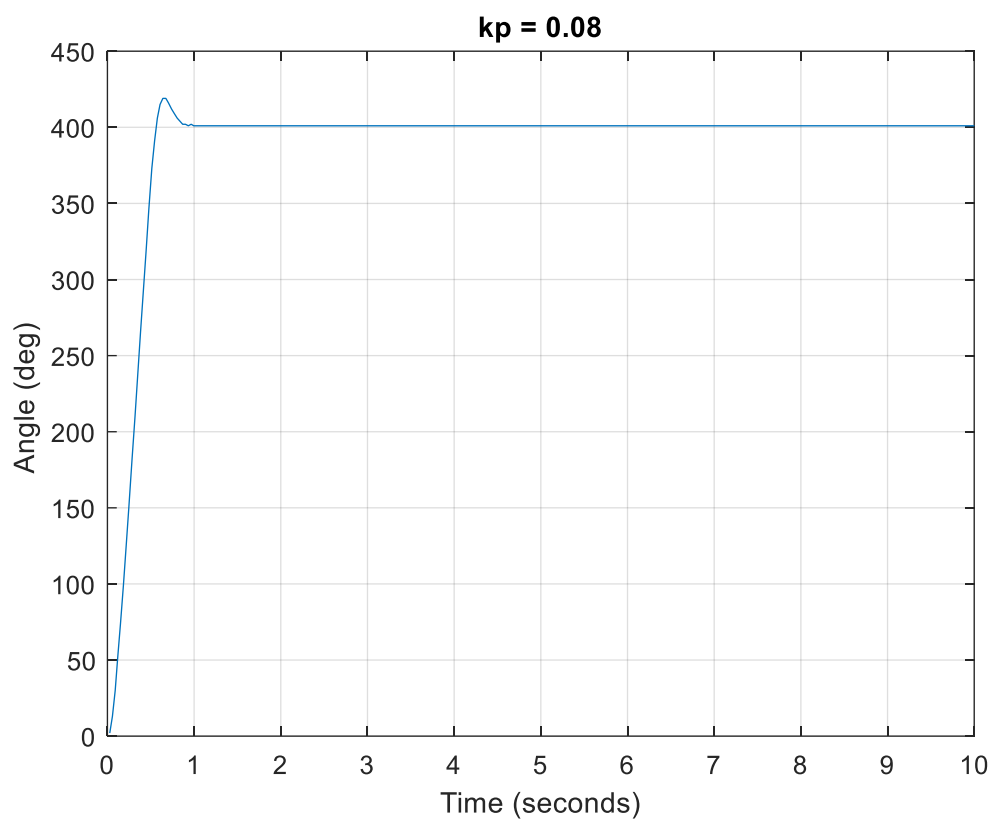


Рисунок 2 – график слежения по углу поворота за постоянным сигналом  $u = 400$ ,  $k_p = 0.08$

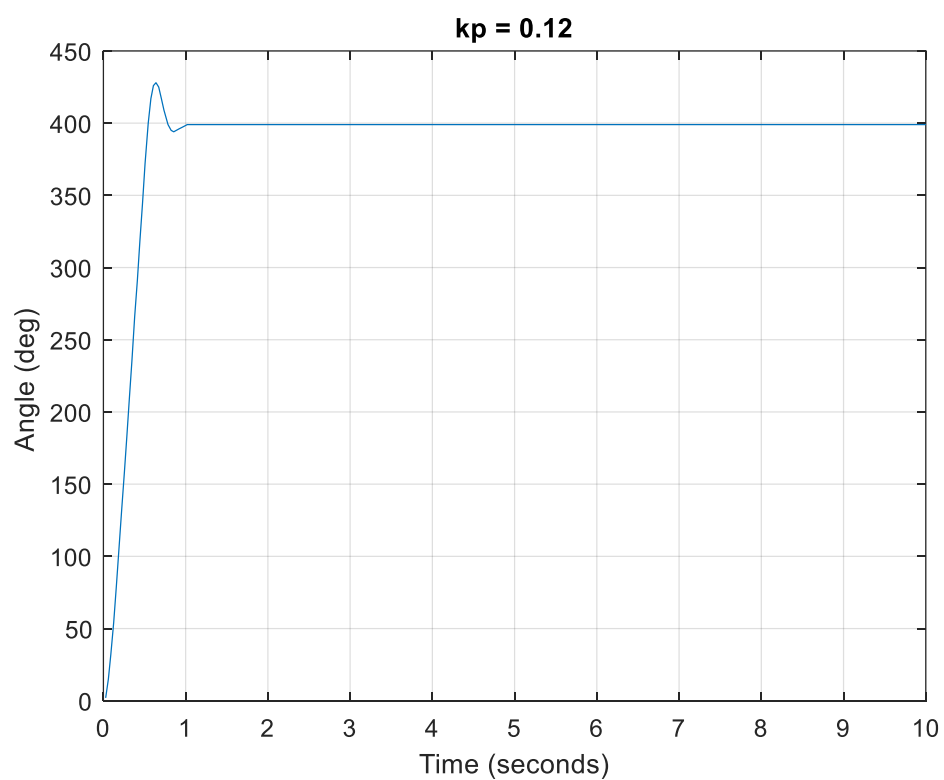


Рисунок 3 – график слежения по углу поворота за постоянным сигналом  $u = 400$ ,  $k_p = 0.12$

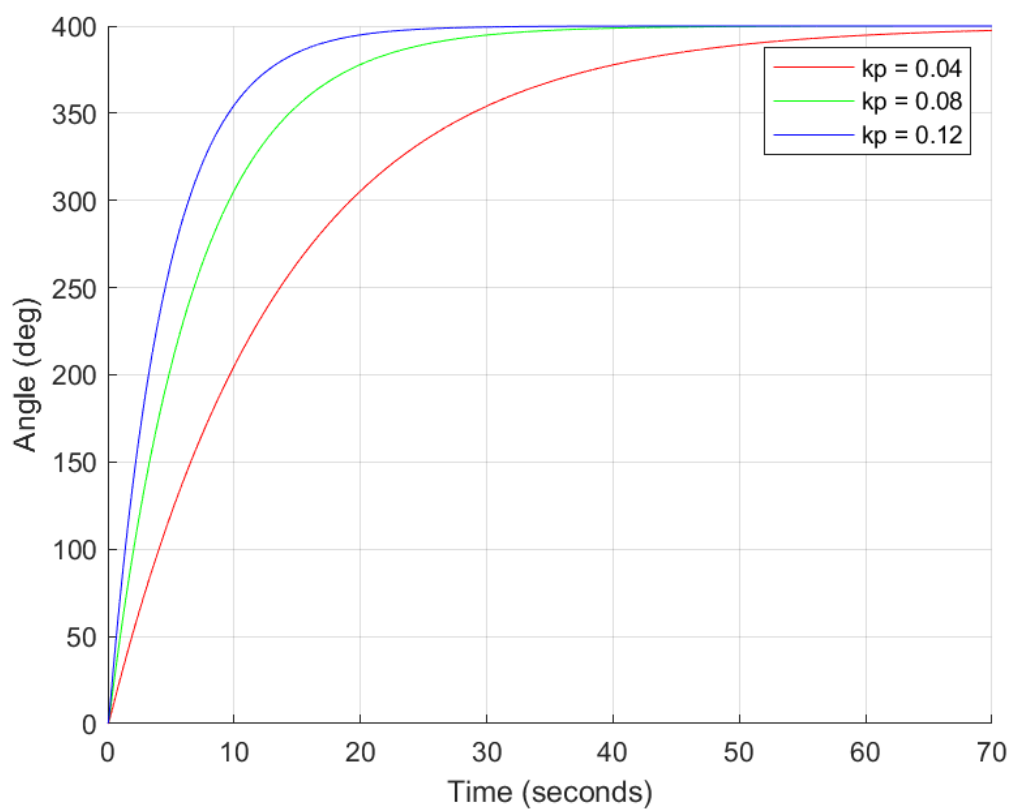


Рисунок 4 – график моделирования слежения по углу поворота за постоянным сигналом  $u = 400$

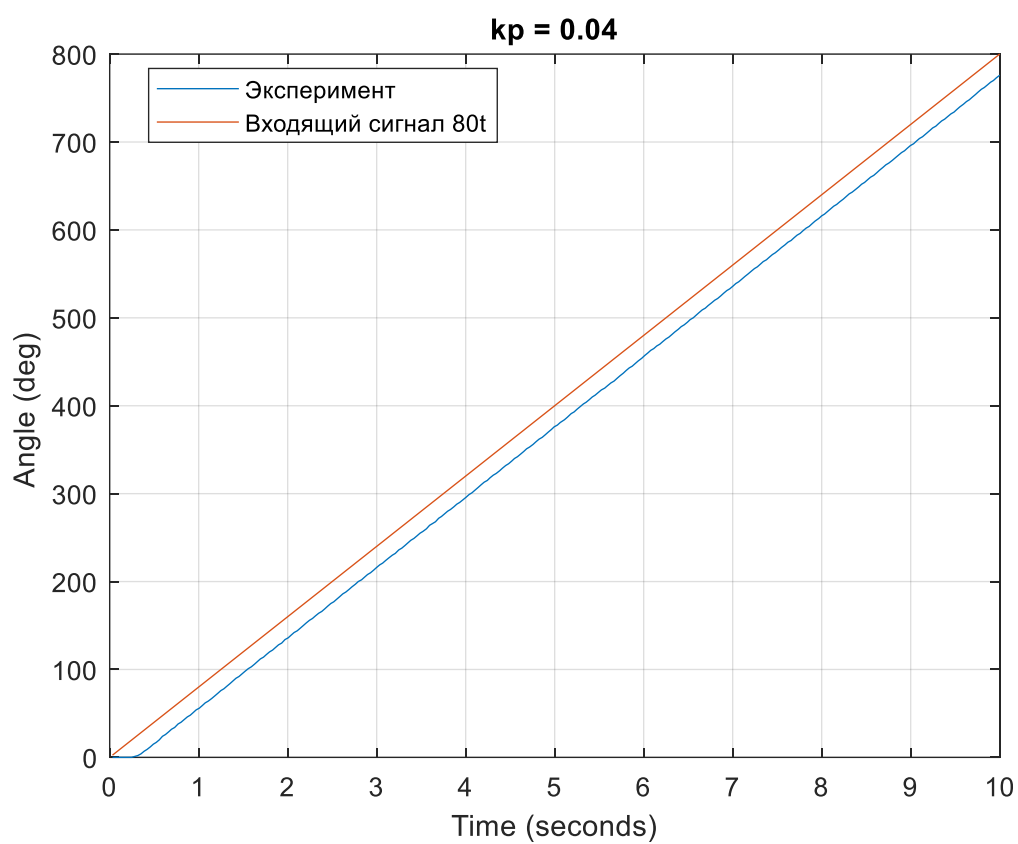


Рисунок 5 – график слежения по углу поворота за линейным сигналом  $80t$ ,  $k_p = 0.04$

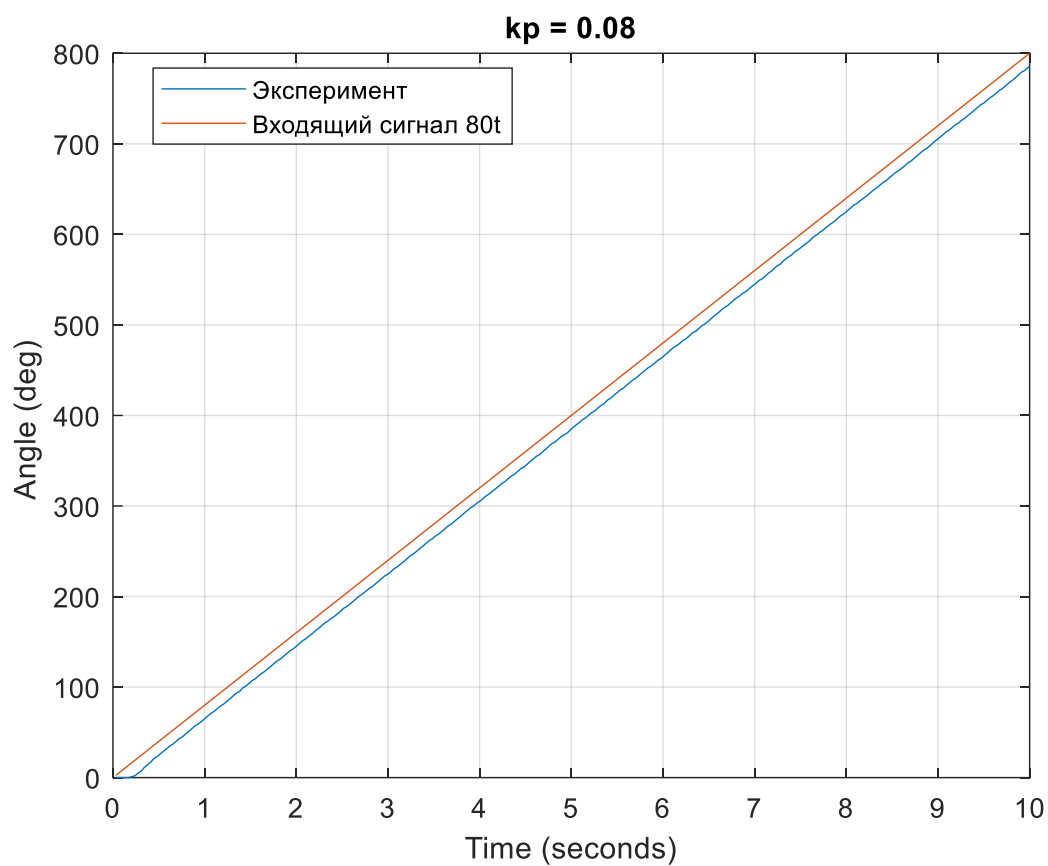


Рисунок 6 – график слежения по углу поворота за линейным сигналом  $80t$ ,  $k_p = 0.08$

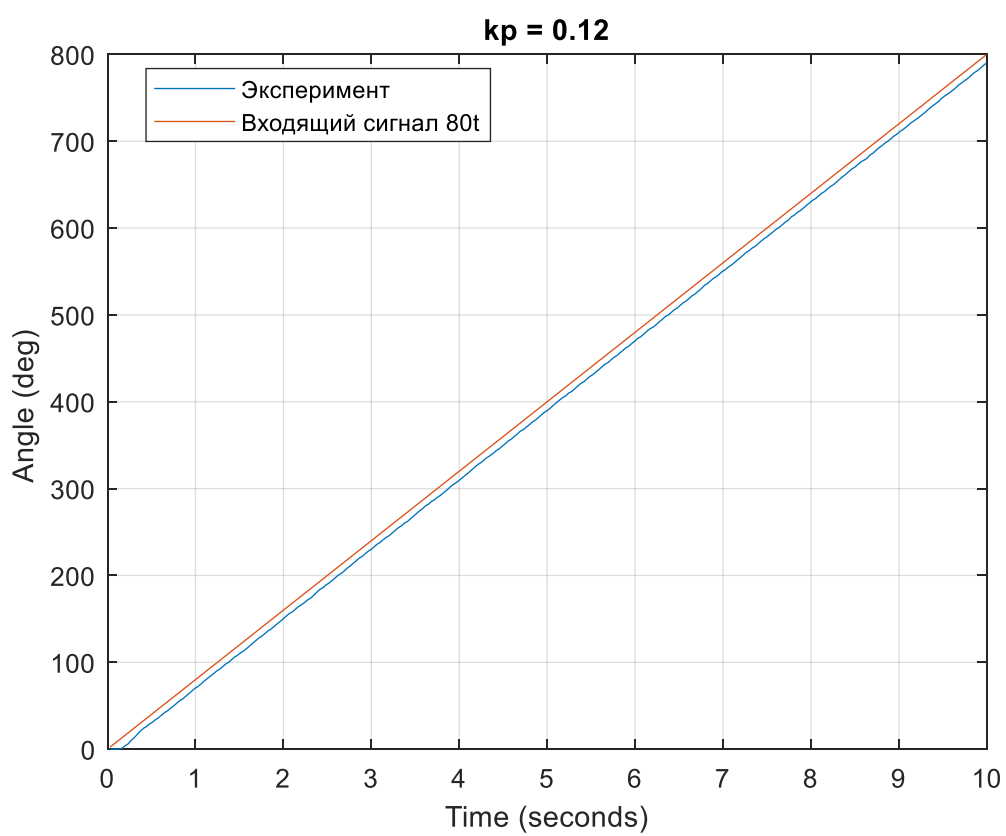


Рисунок 7 – график слежения по углу поворота за линейным сигналом  $80t$ ,  $k_p = 0.12$

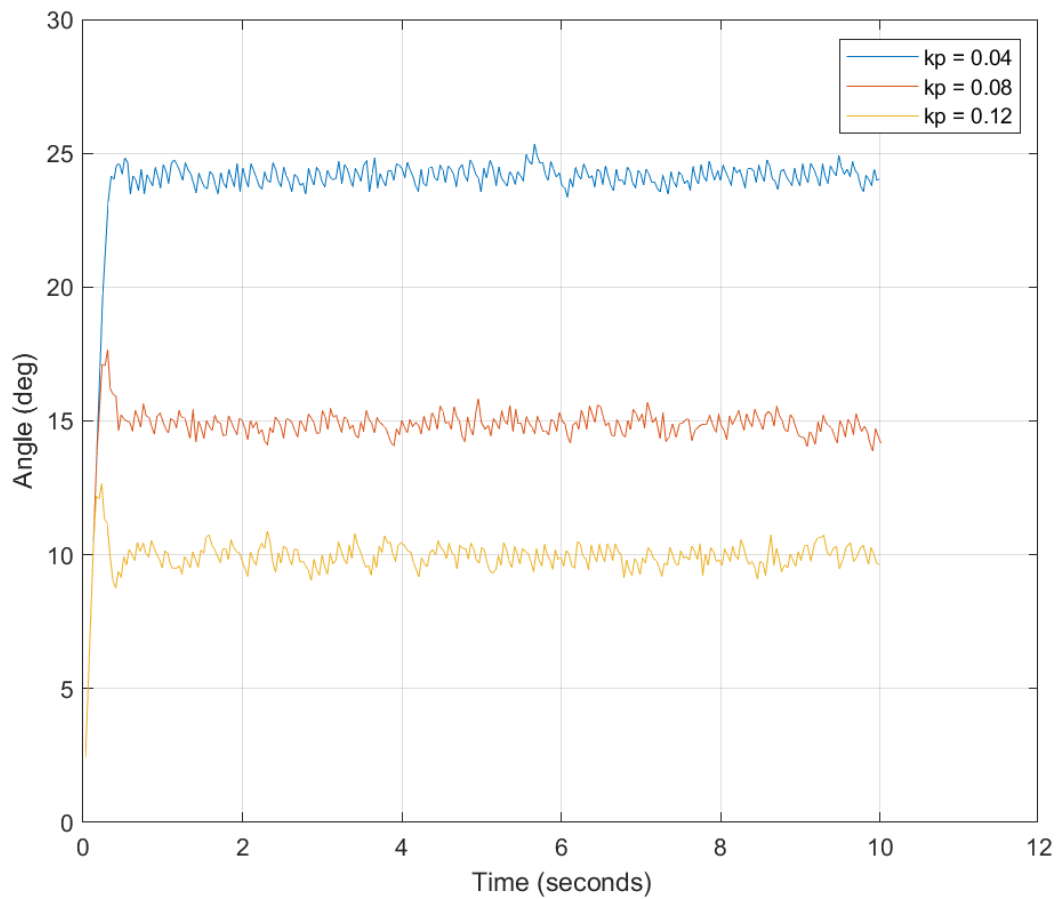


Рисунок 8 – графики ошибок по углу поворота за линейным сигналом при разных  $k_p$

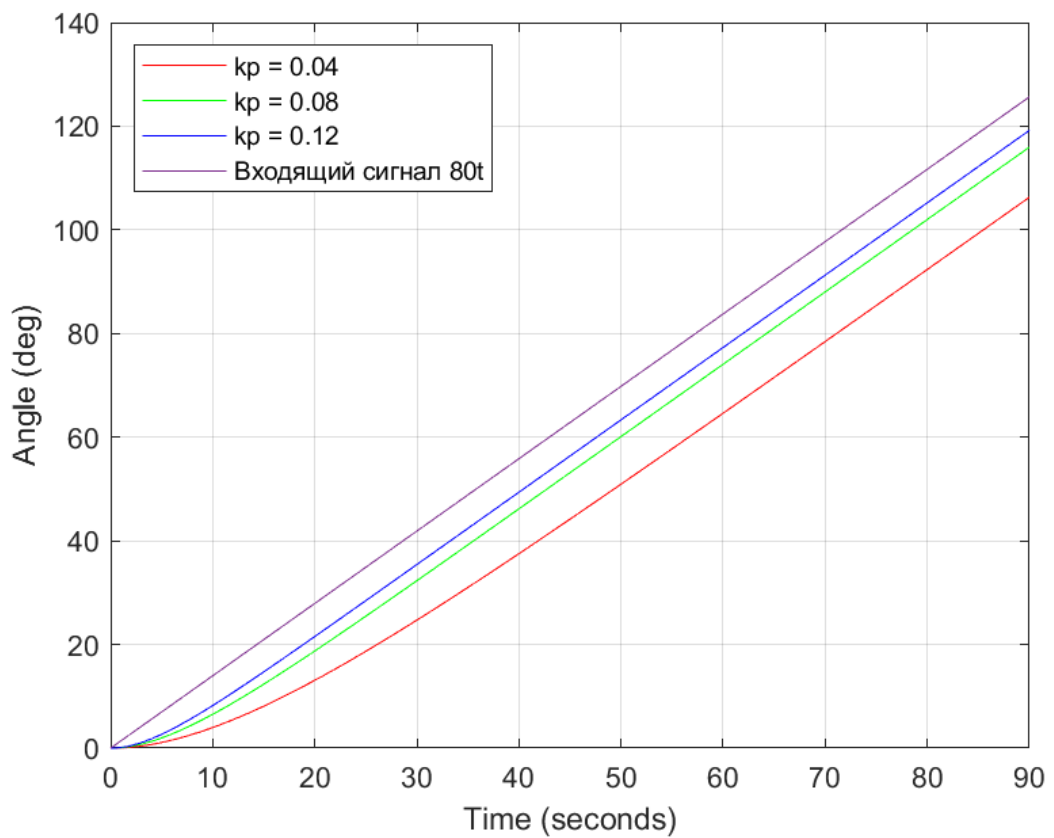


Рисунок 9 – график моделирования слежения по углу поворота за линейным сигналом  $80t$

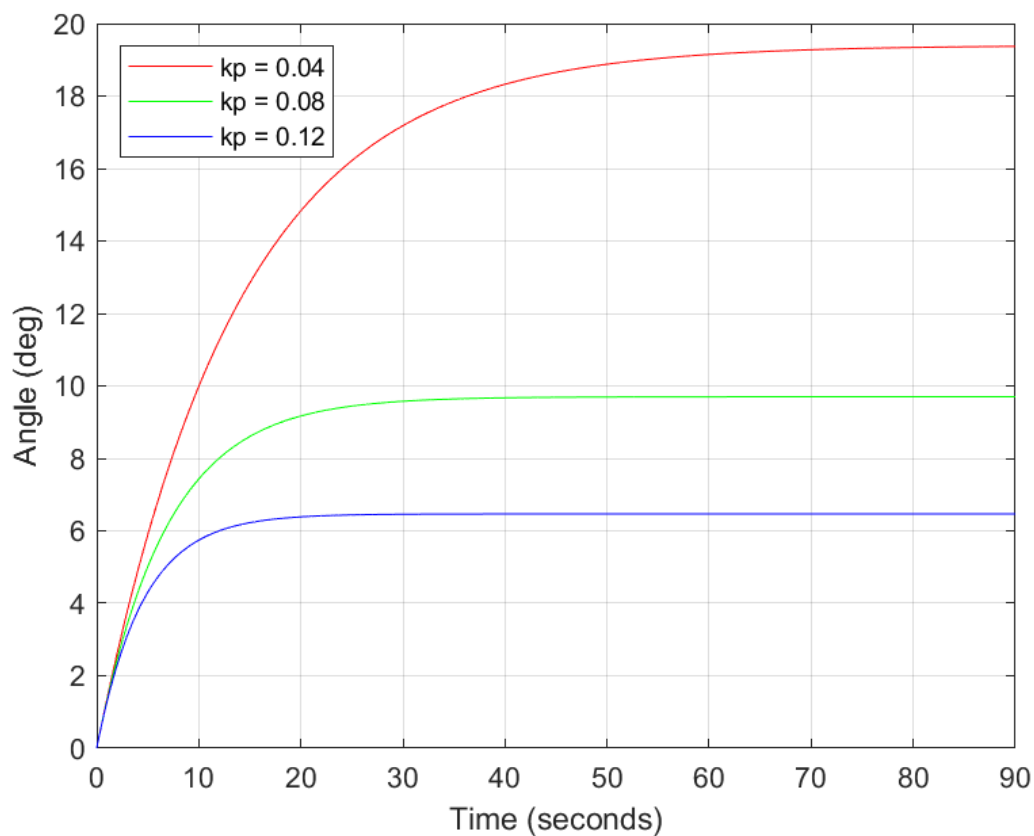


Рисунок 10 – графики ошибок при моделировании слежения по углу поворота за линейным сигналом при разных  $k_p$

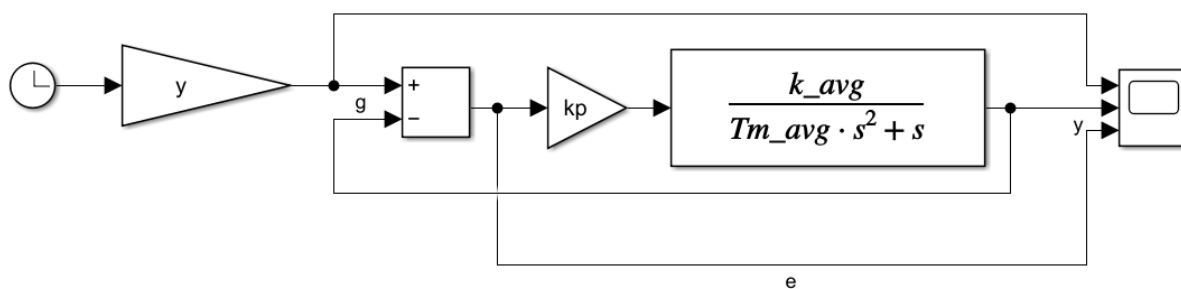


Рисунок 11 – схема с П-регулятором

**Аналитический расчет предполагаемой ошибки слежения за линейным сигналом**

$$W(s) = W_{\text{per}}(s) \cdot W_{\text{об}}(s) = \frac{k_p \cdot k_{\text{avg}}}{Tm_{\text{avg}} \cdot s^2 + s}$$

Передаточная функция от G к E:

$$W_{g \rightarrow e}(s) = \frac{1}{1 + W(s)} = \frac{Tm_{\text{avg}} \cdot s^2 + s}{Tm_{\text{avg}} \cdot s^2 + s + k_p \cdot k_{\text{avg}}}$$



Образ Лапласа входного воздействия:

$$G(s) = \frac{80 \cdot \frac{\pi}{180}}{s^2} = \frac{1,4}{s^2}$$

Образ Лапласа установившейся ошибки:

$$E(s) = W_{g \rightarrow e}(s) \cdot G(s) = \frac{1,4}{s^2} \cdot \frac{Tm\_avg \cdot s^2 + s}{Tm\_avg \cdot s^2 + s + kp \cdot k\_avg}$$

Так как полюса  $sE(s)$  имеют строго отрицательную вещественную часть при  $k > 0$ , то можем использовать теорему о конечном значении установившейся ошибки.

Предельное значение установившейся ошибки:

$$\begin{aligned} \varepsilon &= \lim_{s \rightarrow 0} s W_{g \rightarrow e}(s) \cdot G(s) = \lim_{s \rightarrow 0} s \cdot \frac{1,4}{s^2} \cdot \frac{Tm\_avg \cdot s^2 + s}{Tm\_avg \cdot s^2 + s + kp \cdot k\_avg} = \\ &= \lim_{s \rightarrow 0} \frac{1,4}{s} \cdot \frac{s \cdot (Tm\_avg \cdot s + 1)}{Tm\_avg \cdot s^2 + s + kp \cdot k\_avg}, \quad kp > 0 \end{aligned}$$

$$\varepsilon = \frac{1,4}{kp \cdot k\_avg} = 6,45$$

**Реальная ошибка = 10**

Увеличение коэффициента  $kp$  уменьшает значение теоретической ошибки.

## ПИ-регулятор

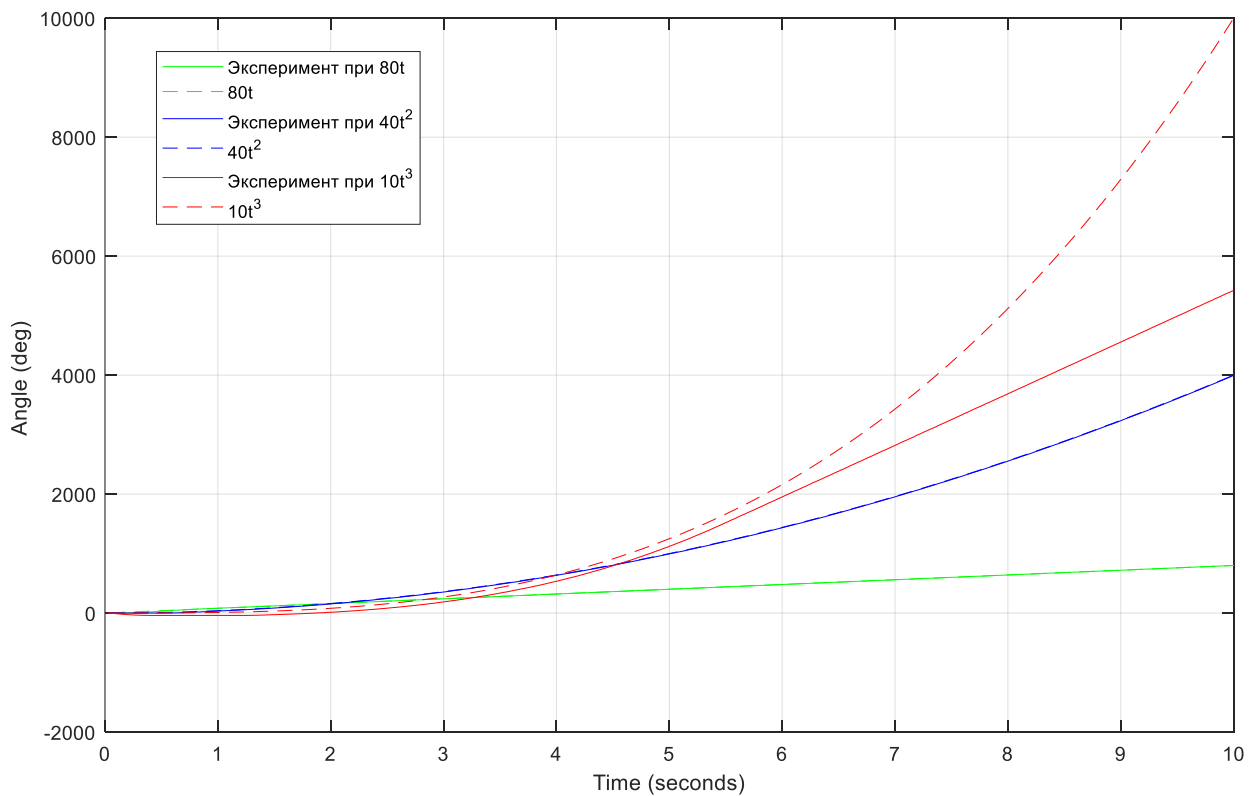


Рисунок 12 – графики слежения за различными сигналами при  $k_p = 0.05$ ,  $k_i = 0.2$

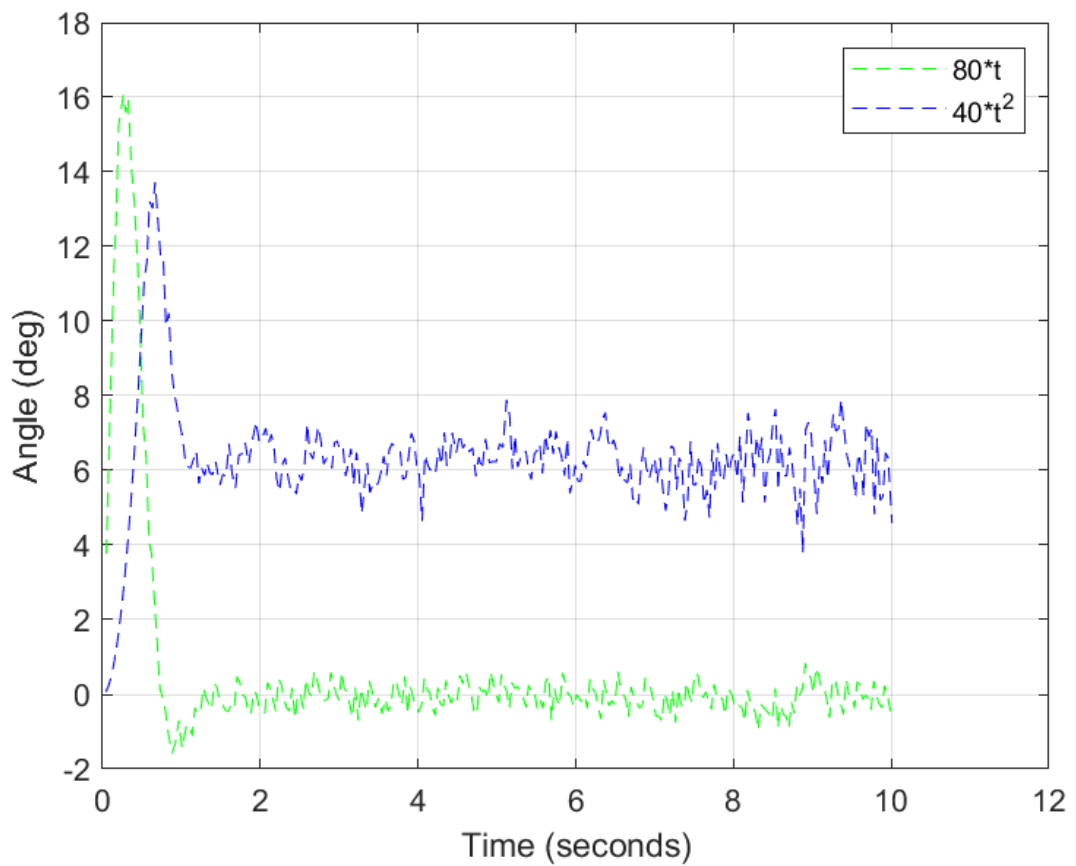


Рисунок 13 – графики ошибок слежения за различными сигналами при  $k_p = 0.05$ ,  $k_i = 0.2$

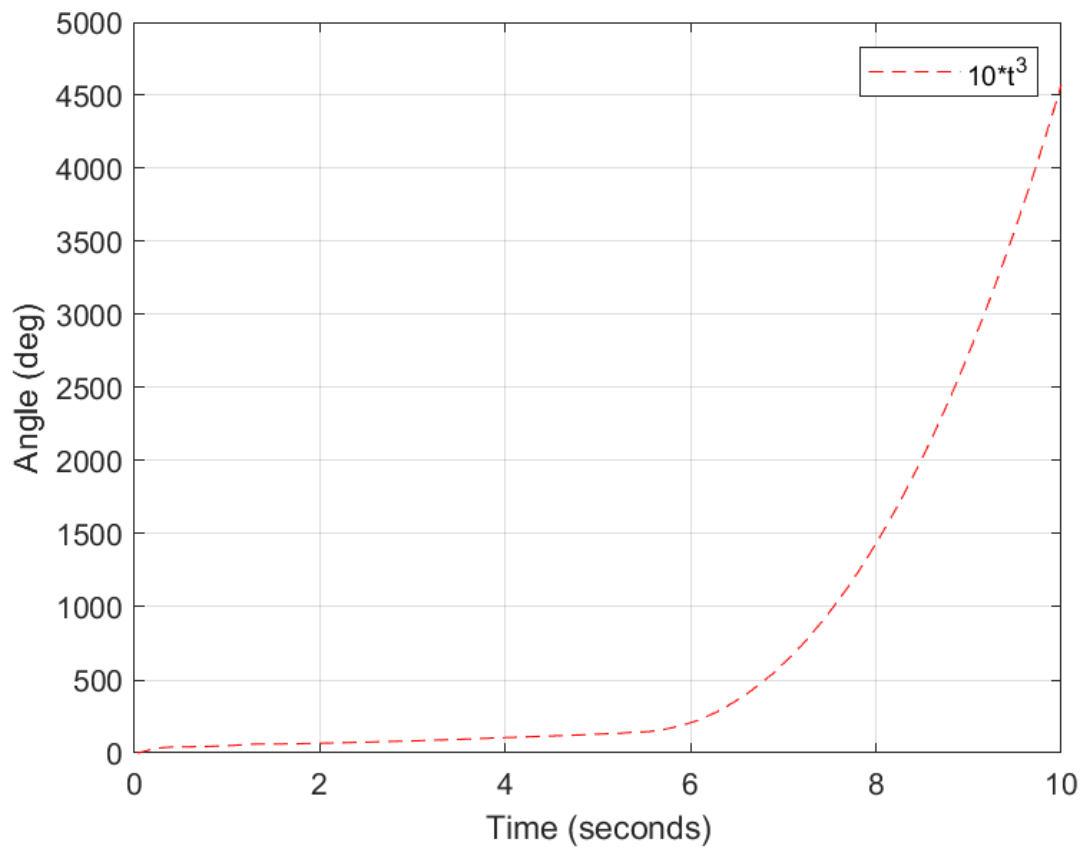


Рисунок 14 – графики ошибок слежения за различными сигналами при  $k_p = 0.05$ ,  $k_i = 0.2$

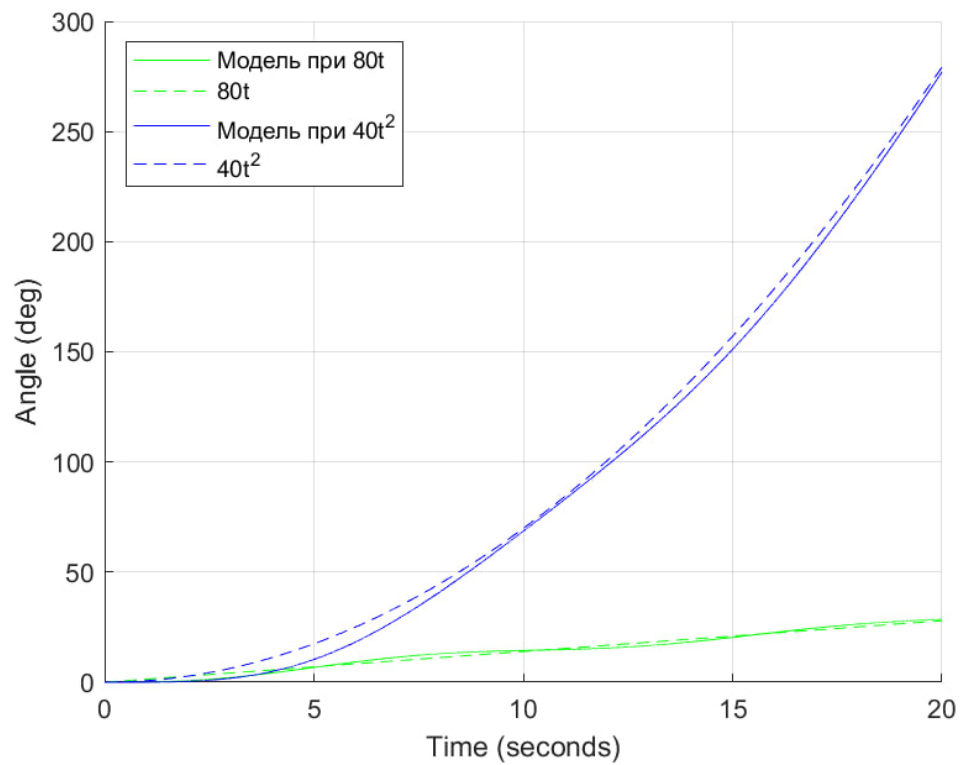


Рисунок 15 – графики моделирования слежения за различными сигналами при  $k_p = 0.05$ ,  $k_i = 0.2$

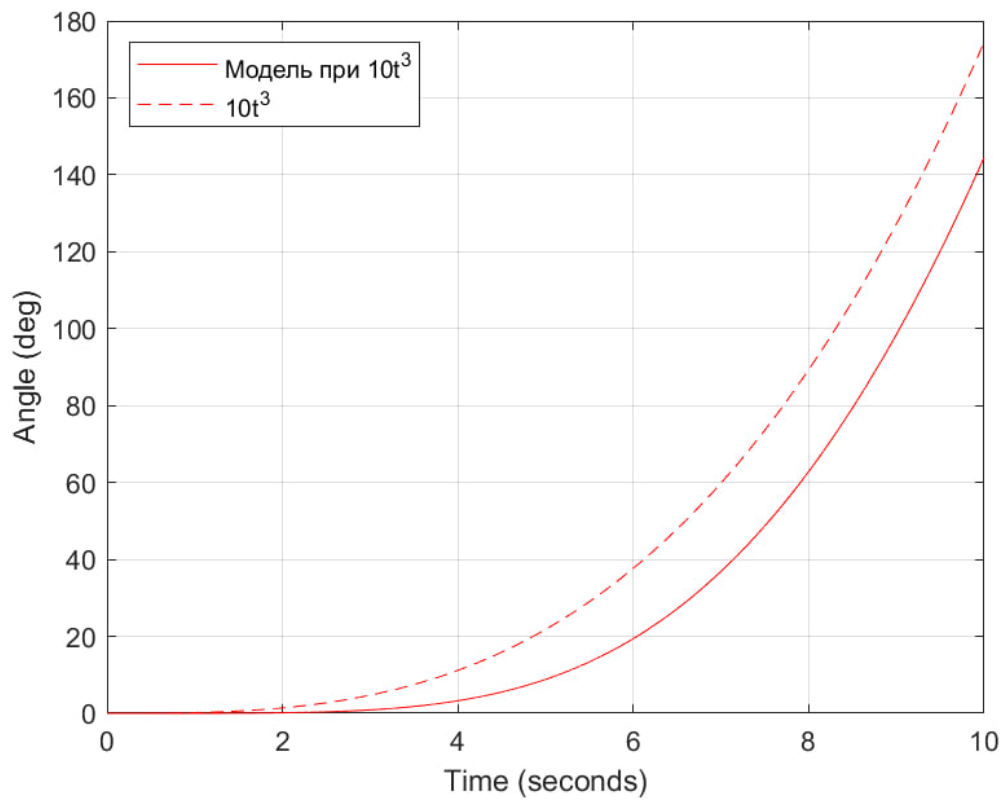


Рисунок 16 – графики моделирования слежения за различными сигналами при  $k_p = 0.05$ ,  $k_i = 0.2$

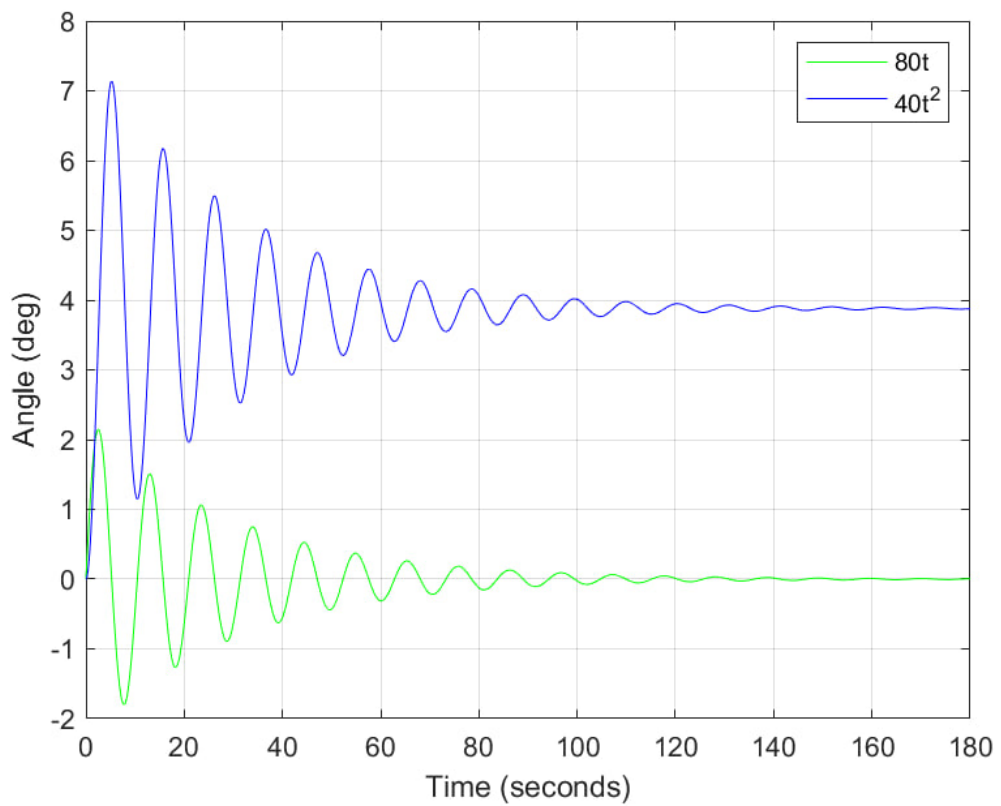


Рисунок 17 – графики ошибок при моделировании слежения за различными сигналами при  $k_p = 0.05$ ,  $k_i = 0.2$

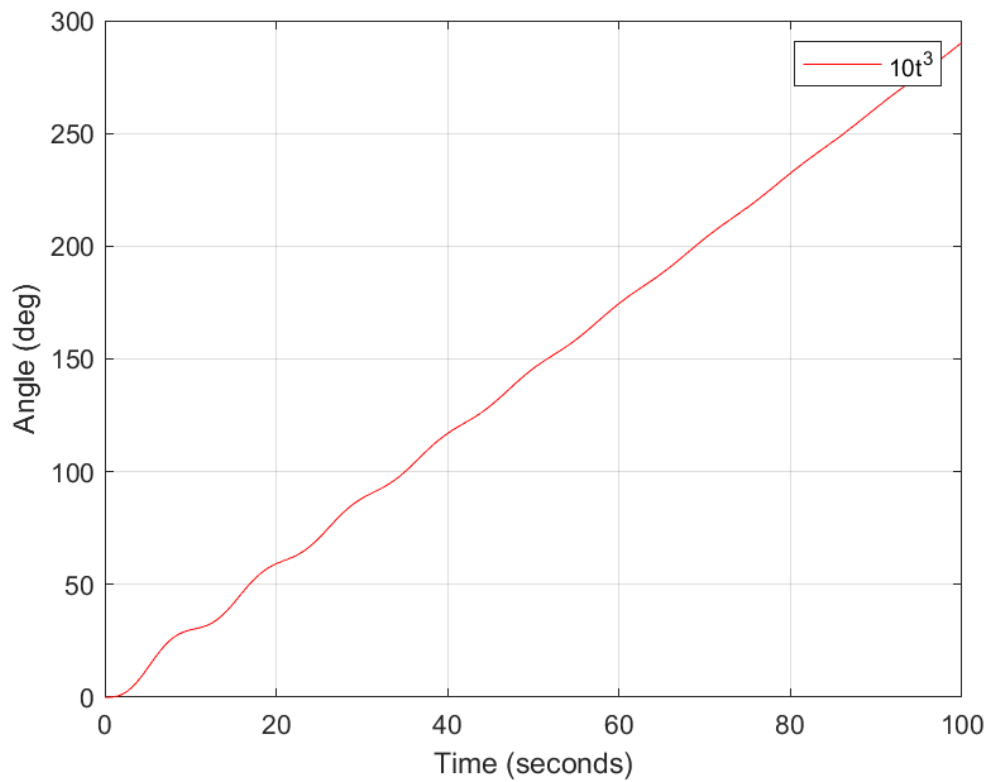


Рисунок 18 – графики ошибок при моделировании слежения за различными сигналами при  $k_p = 0.05$ ,  $k_i = 0.2$

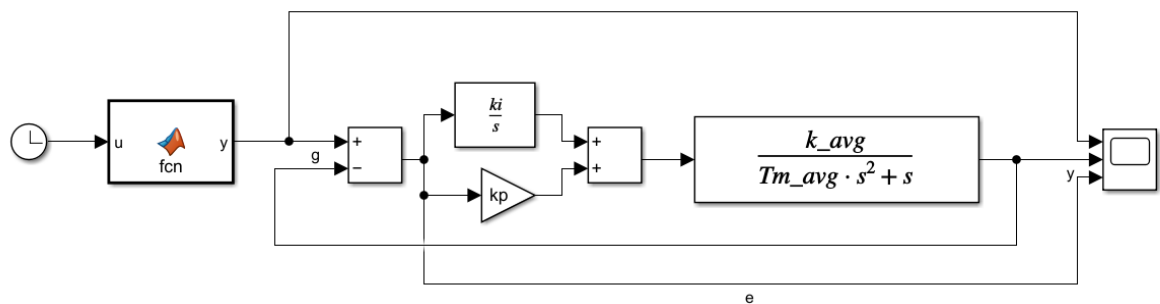


Рисунок 19 – схема с ПИ-регулятором

### Аналитический расчет предполагаемой ошибки

$$W(s) = W_{\text{пер}}(s) \cdot W_{\text{об}}(s) = \frac{\left(k_p + \frac{k_i}{s}\right) \cdot k_{avg}}{Tm_{avg} \cdot s^2 + s}$$

Передаточная функция от G к E:

$$W_{g \rightarrow e}(s) = \frac{1}{1 + W(s)} = \frac{Tm_{avg} \cdot s^2 + s}{Tm_{avg} \cdot s^2 + s + \left(k_p + \frac{k_i}{s}\right) \cdot k_{avg}}$$

### Для линейного сигнала

$$\begin{aligned}\varepsilon &= \lim_{s \rightarrow 0} s W_{g \rightarrow e}(s) \cdot G(s) = \lim_{s \rightarrow 0} s \cdot \frac{1,4}{s^2} \cdot \frac{Tm\_avg \cdot s^2 + s}{Tm\_avg \cdot s^2 + s + \left(kp + \frac{ki}{s}\right) \cdot k\_avg} = \\&= \lim_{s \rightarrow 0} \frac{80}{s} \cdot \frac{s \cdot (Tm\_avg \cdot s + 1)}{Tm\_avg \cdot s^2 + s + \left(kp + \frac{ki}{s}\right) \cdot k\_avg} \\&= \lim_{s \rightarrow 0} \frac{80 \cdot (Tm\_avg \cdot s + 1)}{Tm\_avg \cdot s^2 + s + \left(kp + \frac{ki}{s}\right) \cdot k\_avg} \\&\varepsilon = 0\end{aligned}$$

**Реальная ошибка = 0**

В данном случае ошибки сошлись.

### Для квадратичного сигнала

Образ Лапласа входного воздействия:

$$G(s) = 0,7 \cdot \frac{2}{s^3}$$

Предельное значение установившейся ошибки:

$$\begin{aligned}\varepsilon &= \lim_{s \rightarrow 0} s W_{g \rightarrow e}(s) \cdot G(s) = \lim_{s \rightarrow 0} s \cdot \frac{1,4}{s^3} \cdot \frac{Tm\_avg \cdot s^2 + s}{Tm\_avg \cdot s^2 + s + \left(kp + \frac{ki}{s}\right) \cdot k\_avg} = \\&= \lim_{s \rightarrow 0} \frac{1,4}{s^2} \cdot \frac{s \cdot (Tm\_avg \cdot s + 1)}{Tm\_avg \cdot s^2 + s + \left(kp + \frac{ki}{s}\right) \cdot k\_avg} = \\&= \lim_{s \rightarrow 0} \frac{1,4 \cdot Tm\_avg \cdot s + 1,4}{Tm\_avg \cdot s^3 + s^2 + (kp \cdot s + ki) \cdot k\_avg} \\&\varepsilon = \frac{80}{ki \cdot k\_avg} = 3,87\end{aligned}$$

**Реальная ошибка = 6**

Увеличение коэффициента  $ki$  уменьшает значение теоретической ошибки

### Для кубического сигнала

Образ Лапласа входного воздействия:

$$G(s) = \frac{1,05}{s^4}$$

Предельное значение установившейся ошибки:

$$\begin{aligned}\varepsilon &= \lim_{s \rightarrow 0} s W_{g \rightarrow e}(s) \cdot G(s) = \lim_{s \rightarrow 0} s \cdot \frac{1,05}{s^4} \cdot \frac{Tm\_avg \cdot s^2 + s}{Tm\_avg \cdot s^2 + s + \left(kp + \frac{ki}{s}\right) \cdot k\_avg} = \\ &= \lim_{s \rightarrow 0} \frac{1,05}{s^2} \cdot \frac{Tm\_avg \cdot s + 1}{Tm\_avg \cdot s^2 + s + \left(kp + \frac{ki}{s}\right) \cdot k\_avg} = \infty\end{aligned}$$

**Реальная ошибка** =  $\infty$

В данном случае ошибки сошлись.

## Специальный регулятор

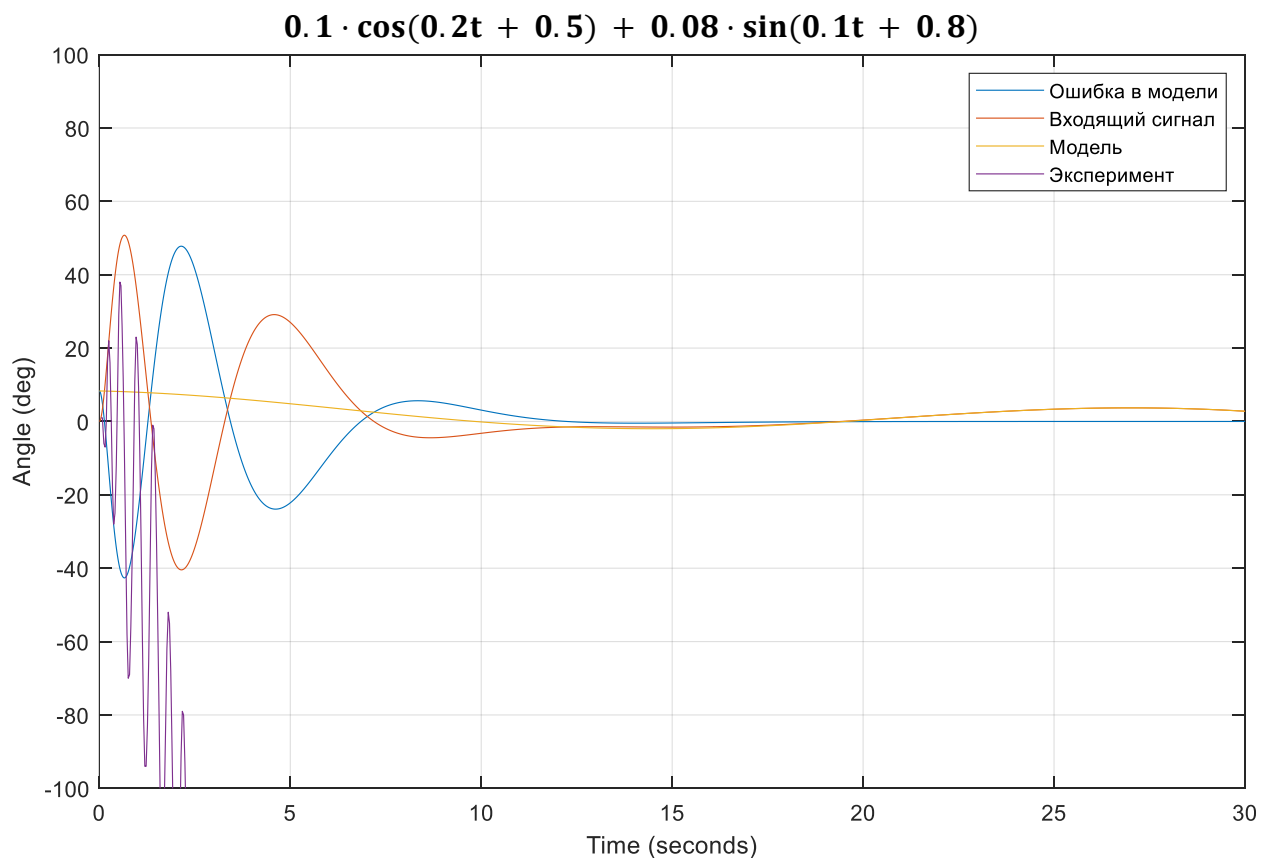


Рисунок 20 – график модели и эксперимента со специальным регулятором

$$0.3 \cdot \cos\left(2t + \frac{\pi}{2}\right) + 0.16 \cdot \sin(2t + 2\pi)$$

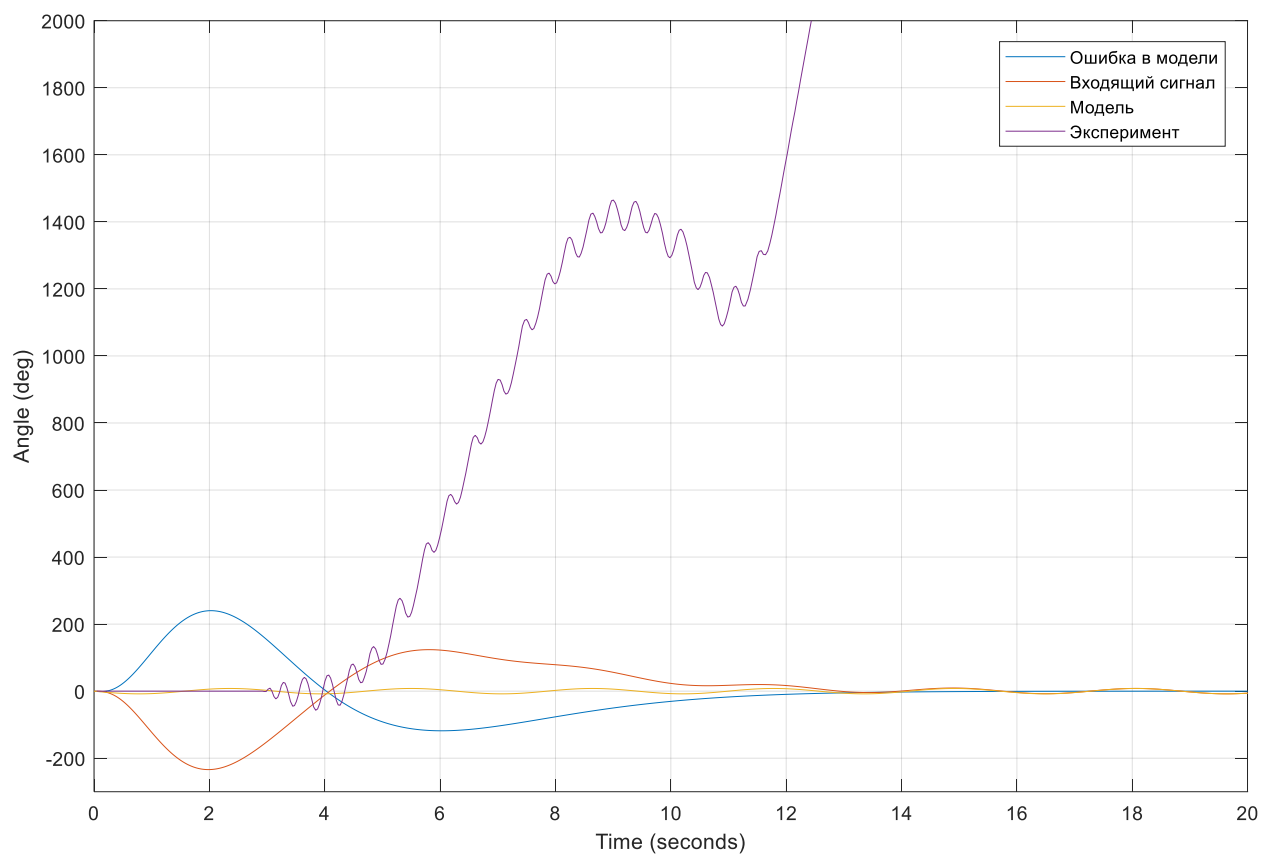


Рисунок 21 – график модели и эксперимента со специальным регулятором

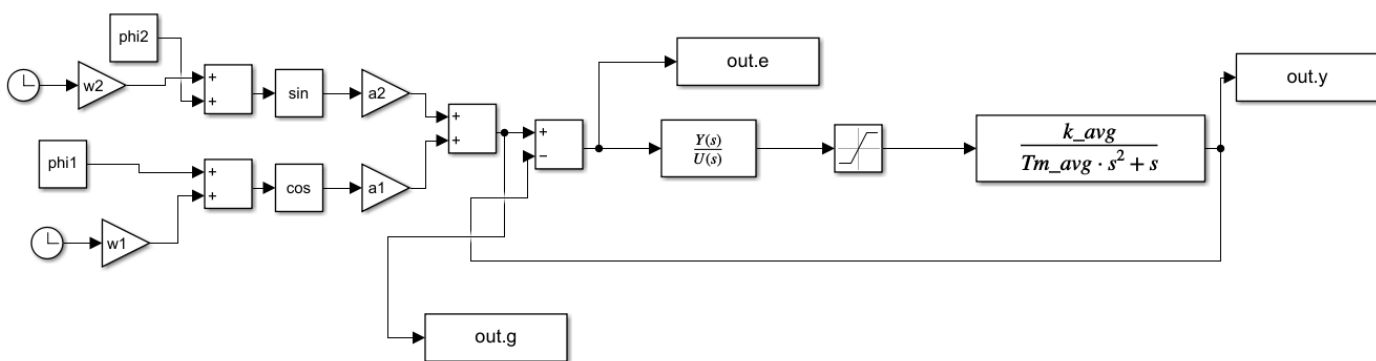


Рисунок 22 – схема со специальным регулятором и ограничением по напряжению



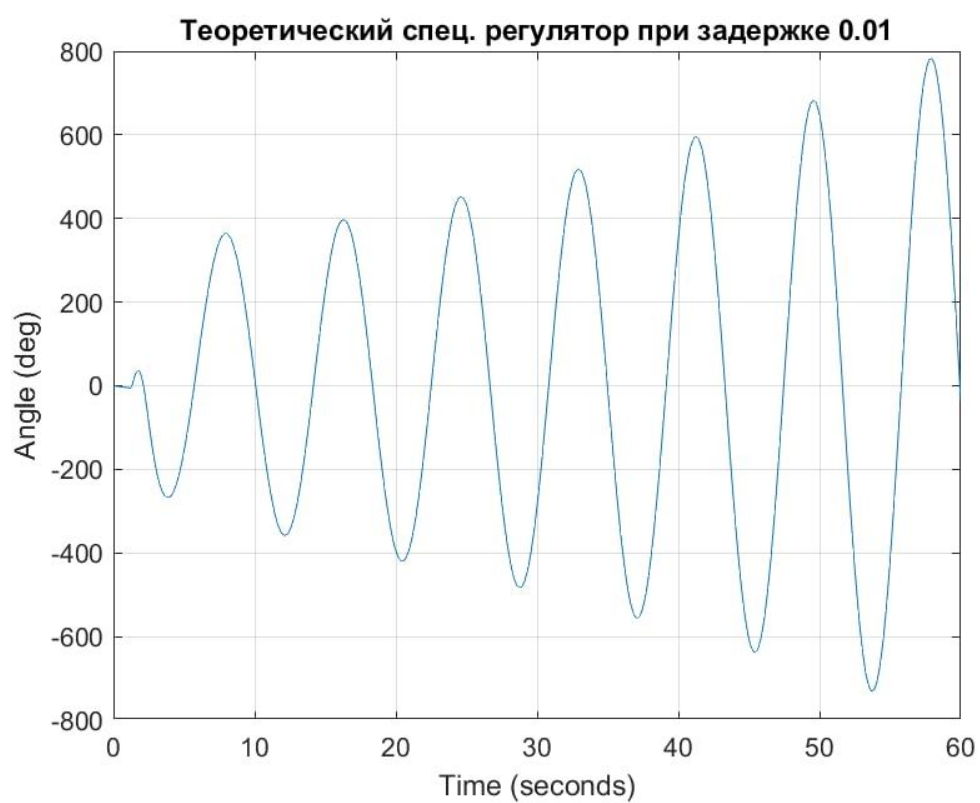


Рисунок 23 – график модели со специальным регулятором при задержке 0.01 с

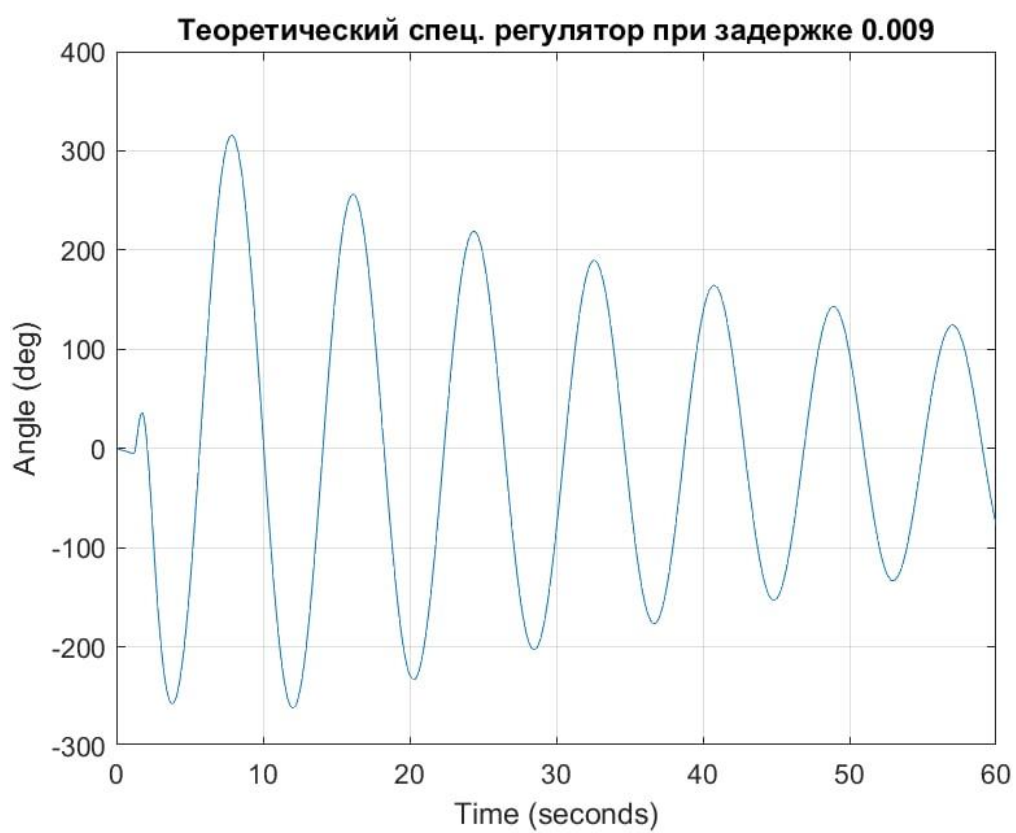


Рисунок 24 – график модели со специальным регулятором при задержке 0.009 с

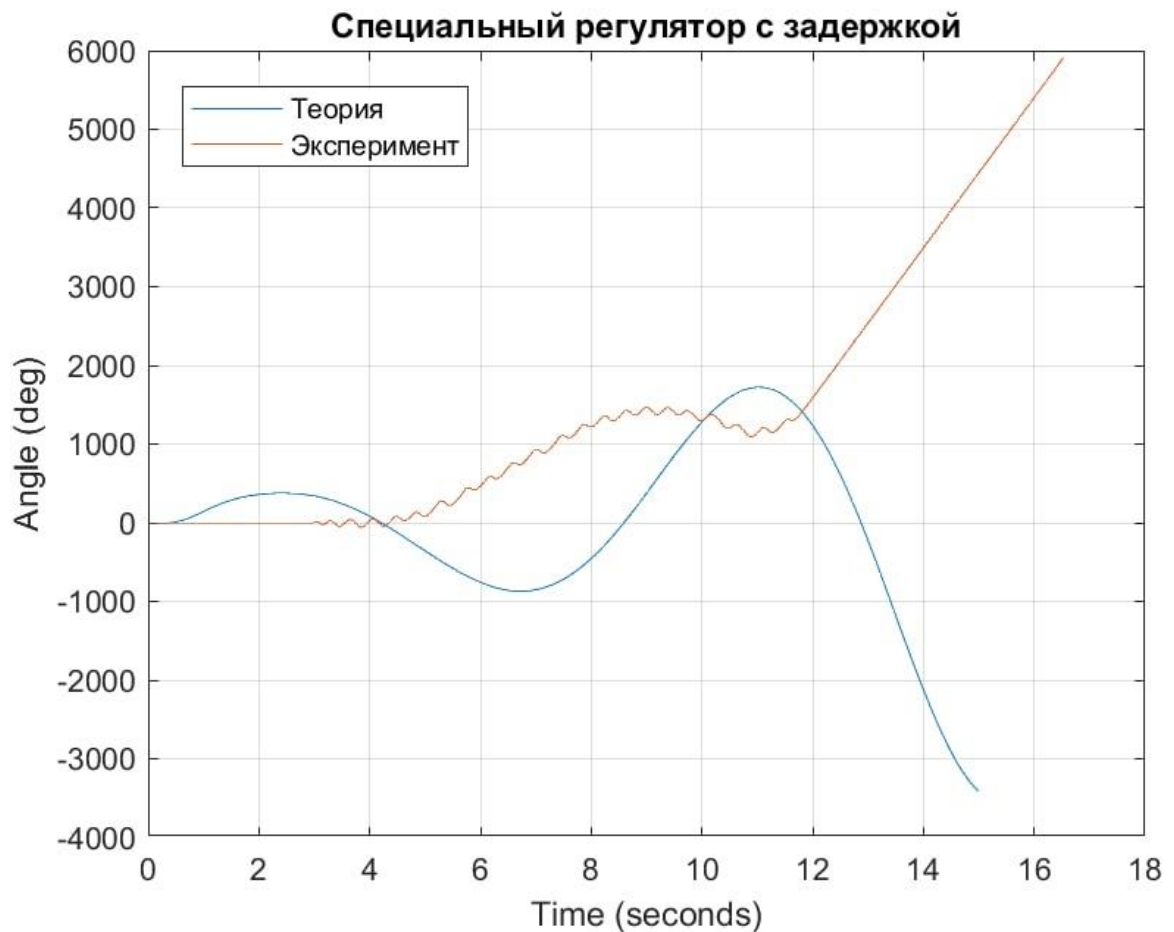


Рисунок 25 – графики модели и эксперимента со специальным регулятором при задержке 0.015 с

Нам кажется, что добиться хотя бы приемлемого результата специального регулятора не удалось, потому что в этом случае огромную роль играет задержка (а вычисление напряжения на каждую итерацию спец. регулятора не мгновенное).

При этом мы не знаем, как именно связаны специальный регулятор и задержка, но у нас получилось подобрать критическую задержку при моделировании.  $T = 0.009$  с.

К сожалению, в реальности задержка больше. Но зато вид графиков экспериментального и теоретического сошелся! (рисунок 16)

### Задание 3. Частотные характеристики

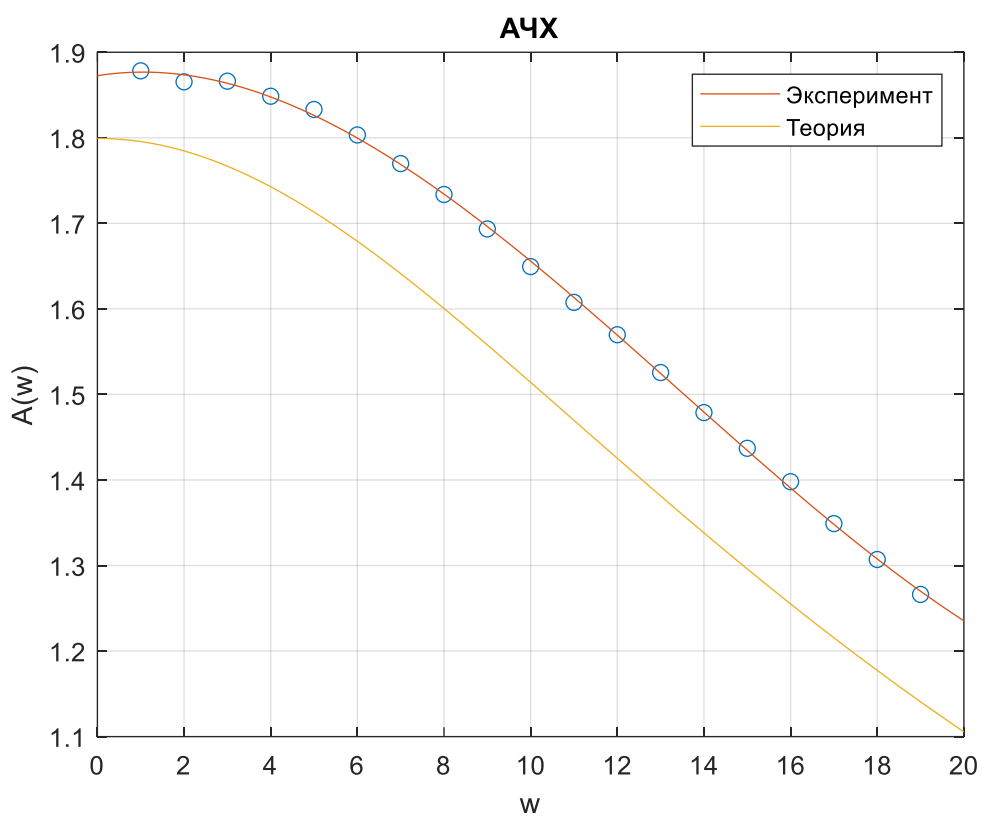


Рисунок 26 – график АЧХ

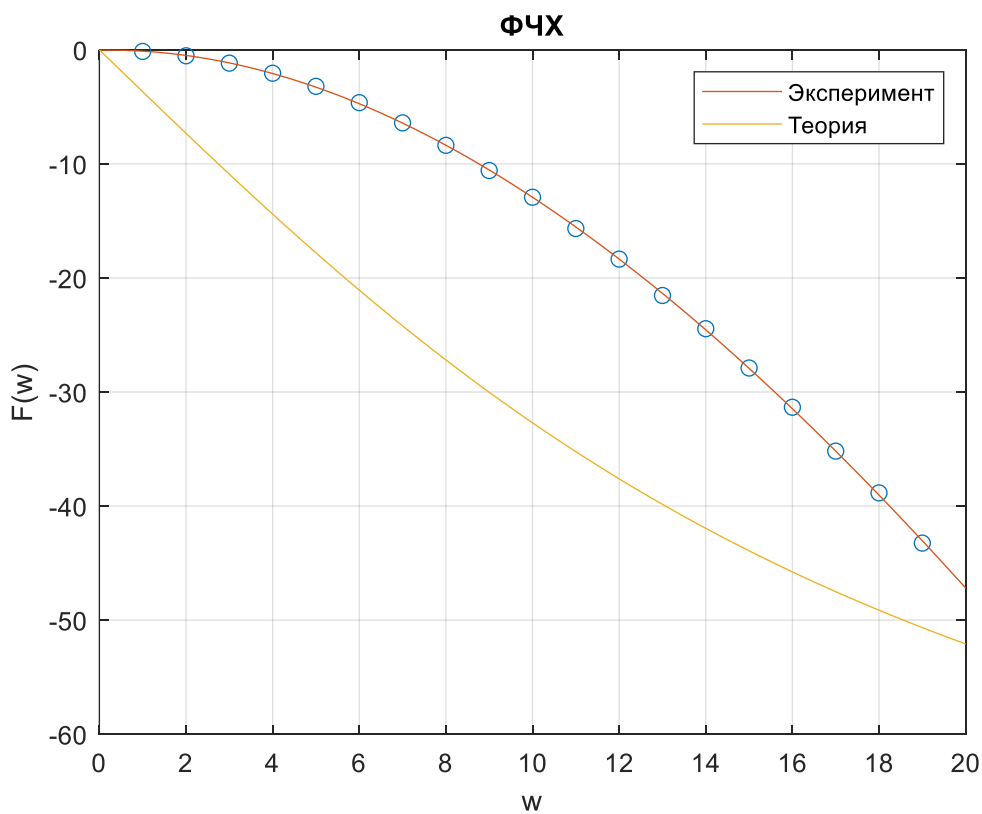


Рисунок 27 – график ФЧХ

Небольшое расхождение теории и эксперимента мы обуславливаем тем, что всё же имеется погрешность в вычислении  $k_{avg}$ , присутствует неполнота математической модели двигателя. Также на это влияют и задержки по времени при вычислении напряжения, доходящего до моторчика.

#### Задание 4. Критерий Найквиста

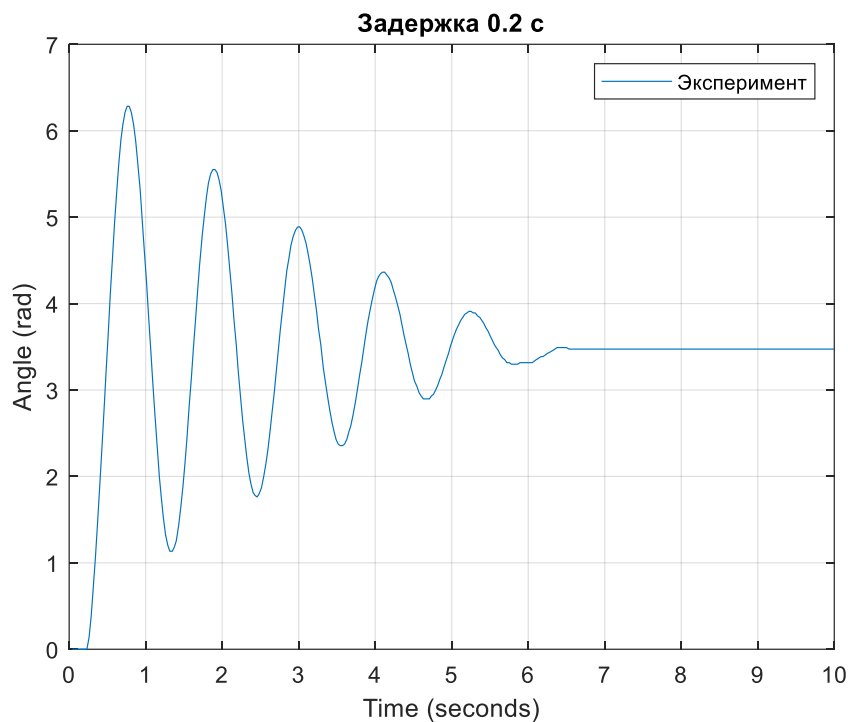


Рисунок 28 – график критической задержки, при которой система устойчива

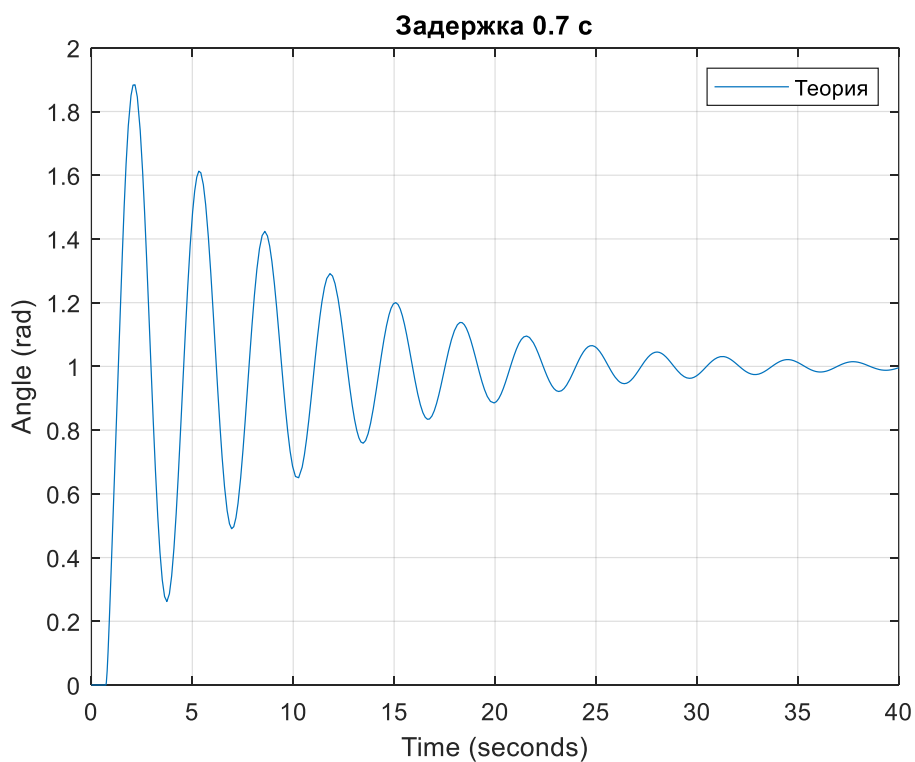


Рисунок 29 – график критической задержки, при которой система устойчива

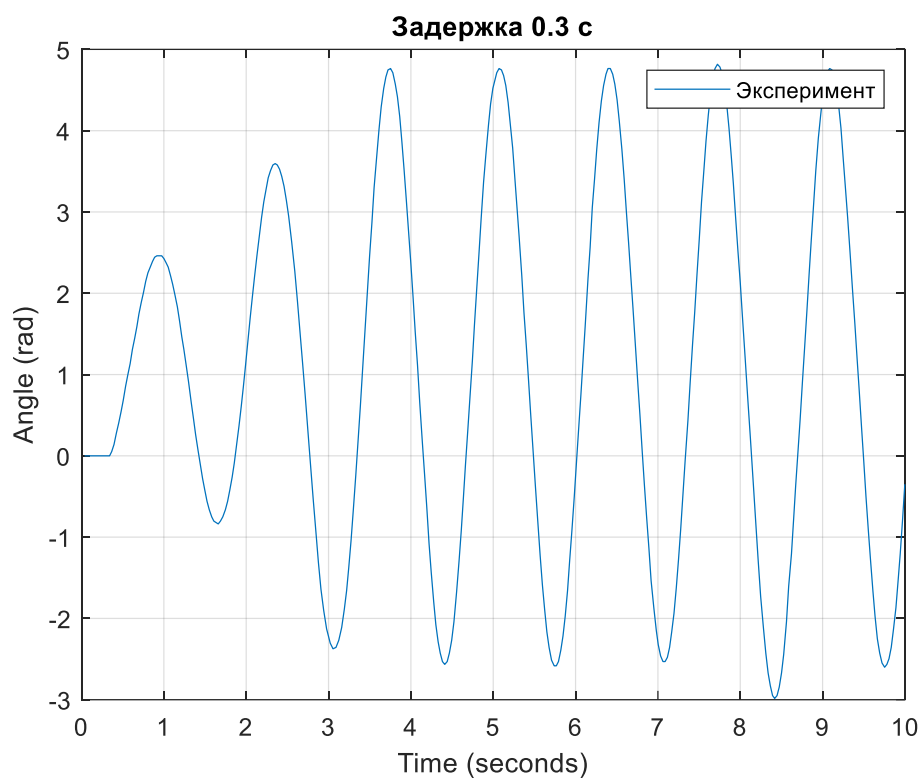


Рисунок 30 – график критической задержки, при которой система неустойчива

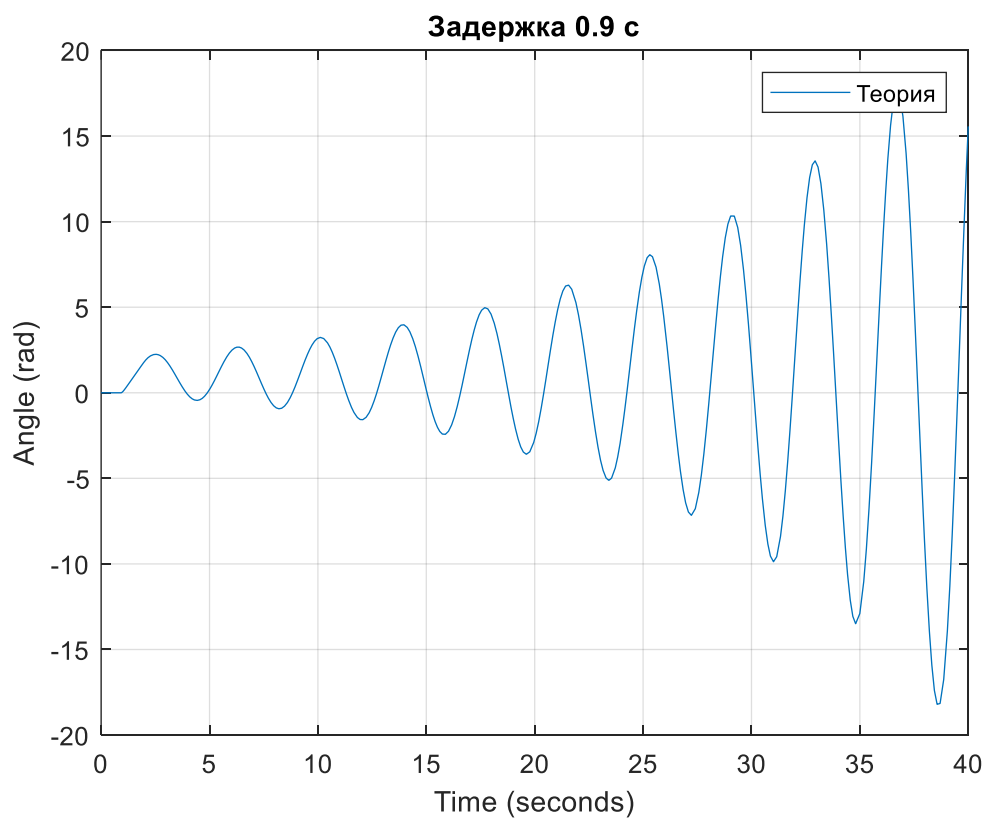


Рисунок 31 – график критической задержки, при которой система неустойчива

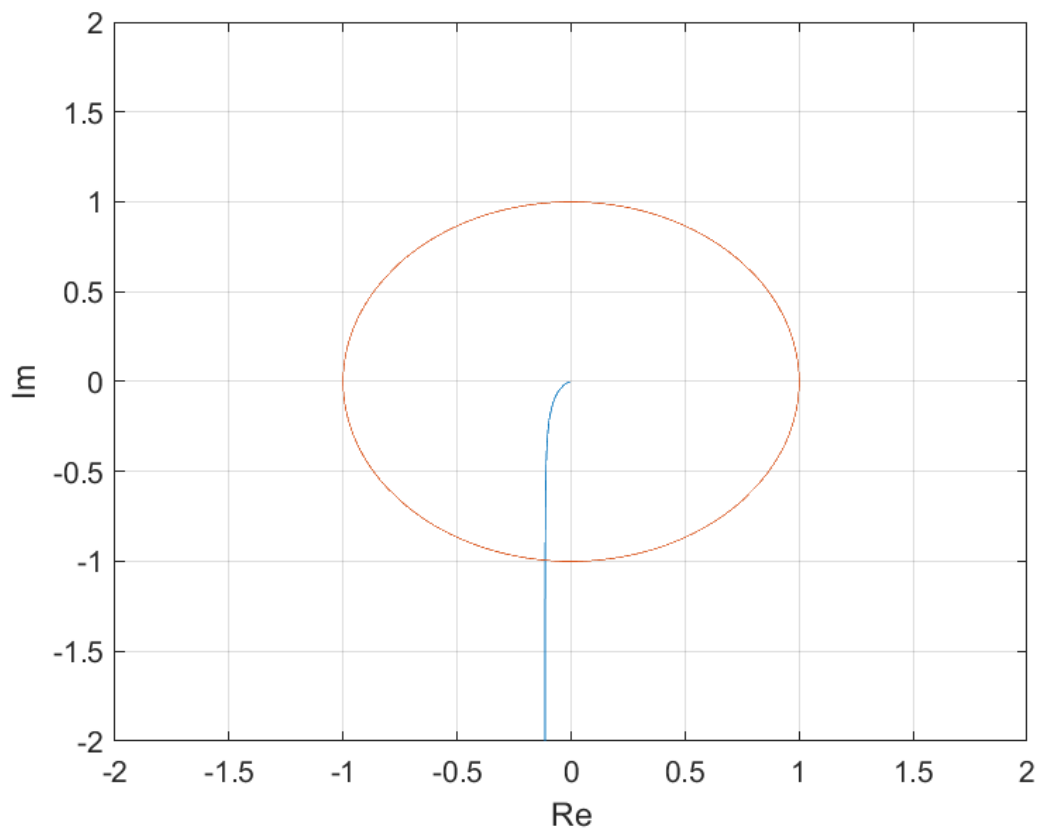


Рисунок 32 – годограф Найквиста

Точка пересечения годографа Найквиста и единичной окружности  $(-0.993, -0.114)$

Частота в этой точке = 1.788

$$\text{Критическая задержка} = \frac{\pi + \text{atan2}(-0.993, -0.114)}{1.788} = 0.81$$

Из этого эксперимента и вычисленной теоретически критической задержки, можно сделать вывод, что суммарная задержка подаваемого напряжения на моторчик составляет примерно 0.5 секунды.

## Задание 5. Вынужденное движение

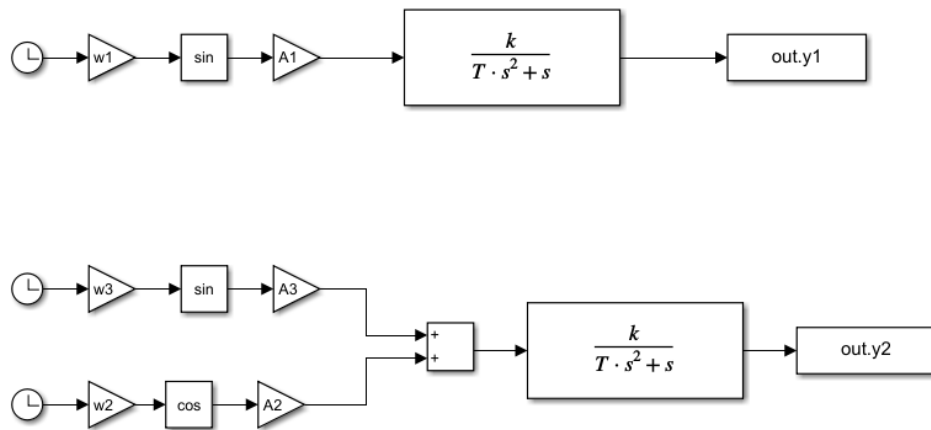


Рисунок 33 – моделирование для расчета теоретического выхода системы

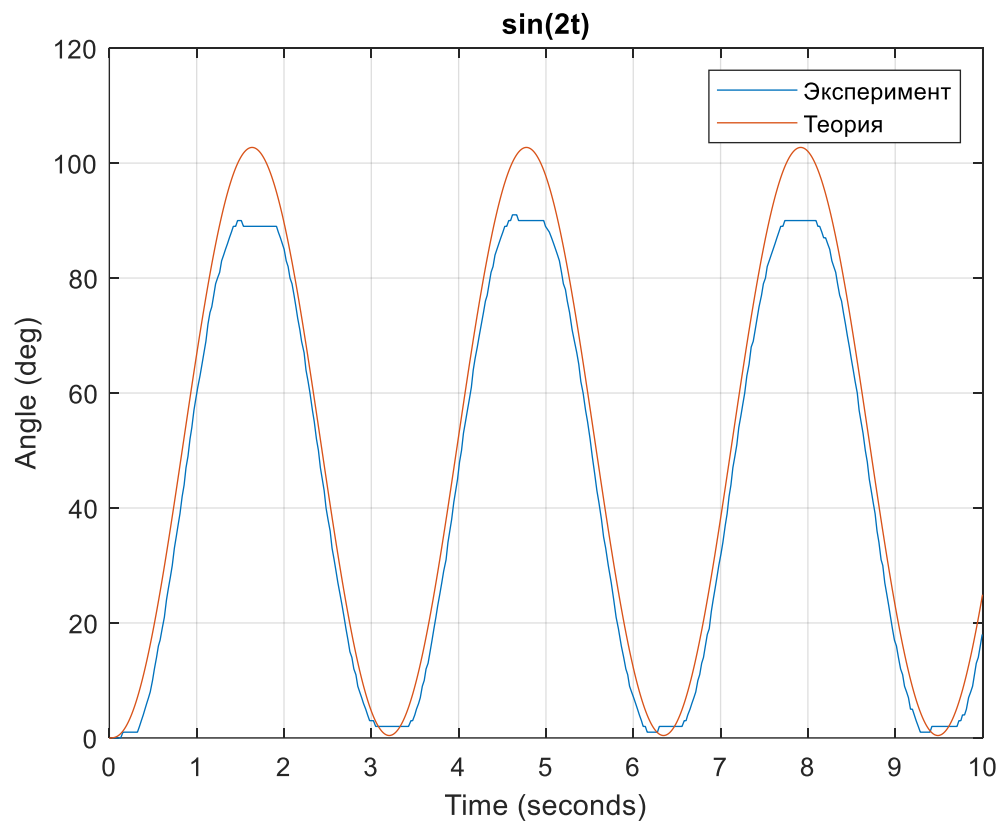


Рисунок 34 – график траекторий угла поворота двигателя при входном воздействии  $\sin(2t)$

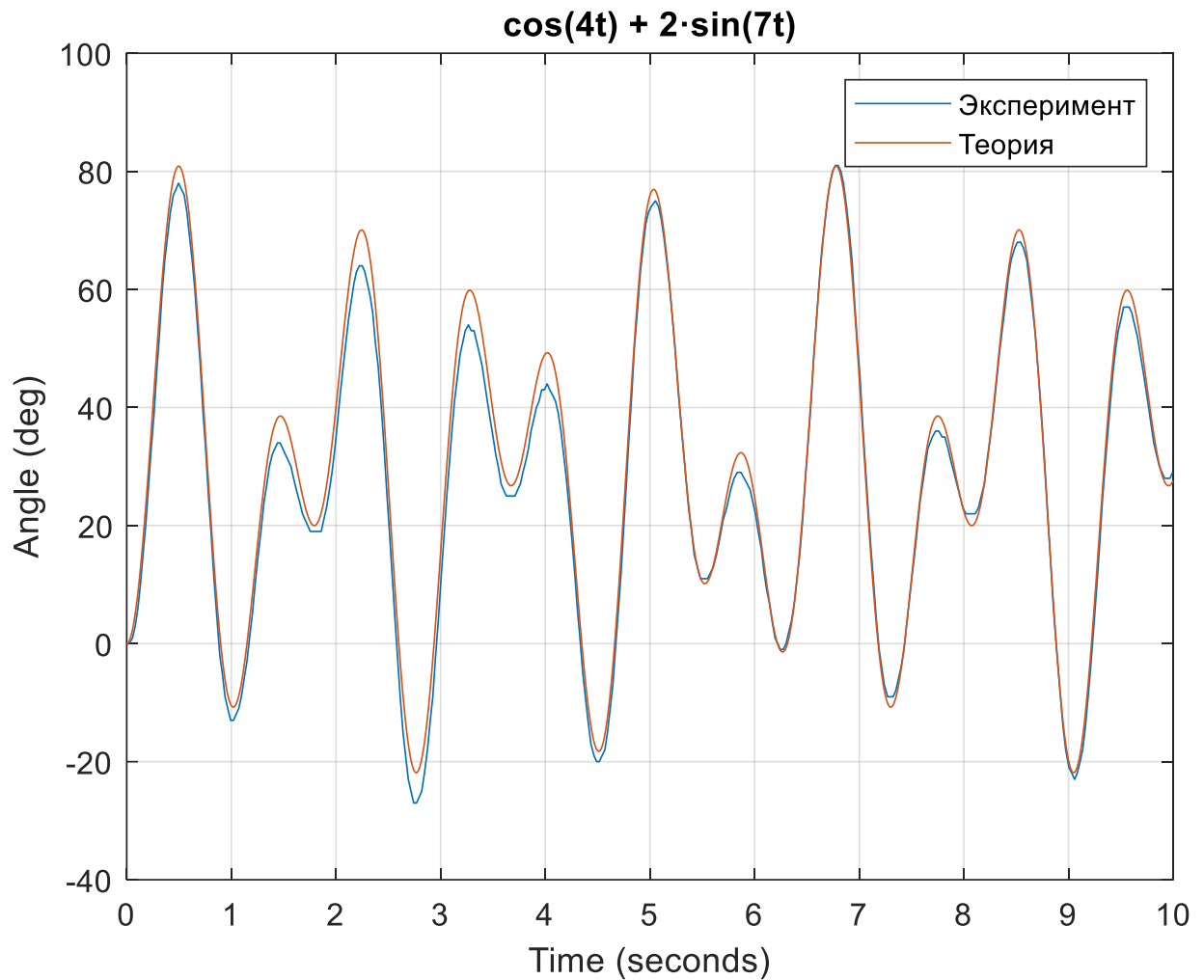


Рисунок 35 – график траекторий угла поворота двигателя при входном воздействии  $\cos(4t) + 2 \cdot \sin(7t)$

В этом задании эксперимент практически совпадает с теорией, с небольшими различиями, что объясняется все той же неточностью коэффициента  $k_{avg}$ , неполнотой математической модели, задержками по времени, а также дискретностью системы, которая не позволяет нам делать доподлинно точные вычисления.

### Выводы

В ходе выполнения данной лабораторной работы мы применили на практике наши изученные за весь семестр (и даже больше) знания по предмету. Использовали для систем с разными астатизмами разные регуляторы, построили частотные характеристики для двигателя постоянного тока, нашли критическую задержку, а также построили графики вынужденного движения при различных входных воздействиях. Однако не всегда эксперимент полностью сходилась с теорией, но и Рим не в один день строился.